



## شناسایی کانی‌های تازه تشکیل در شرایط اسیدی و اقلیم گرم و خشک، مطالعه موردی: انباسته کم-عیار معدن مس میدوک

مجید شاه‌حسینی<sup>۱\*</sup>، فرامرز دولتی اردله‌جانی<sup>۲،۱\*</sup>، مهدی امینی<sup>۱</sup>، لونا ابراهیمی<sup>۳</sup>

۱- دانشکده مهندسی معدن، پردیس دانشکده‌های فنی دانشگاه تهران، تهران

۲- آزمایشگاه هیدروژئولوژی و محیط‌زیست معدنی، دانشکده مهندسی معدن، پردیس دانشکده‌های فنی دانشگاه تهران، تهران

۳- مرکز تحقیق و توسعه، بخش هیدرومکانولورژی، مجتمع مس شهریابک، معدن مس میدوک، کرمان

(دریافت مقاله: ۹۷/۱۲/۲۰، نسخه نهایی: ۹۸/۴/۲۲)

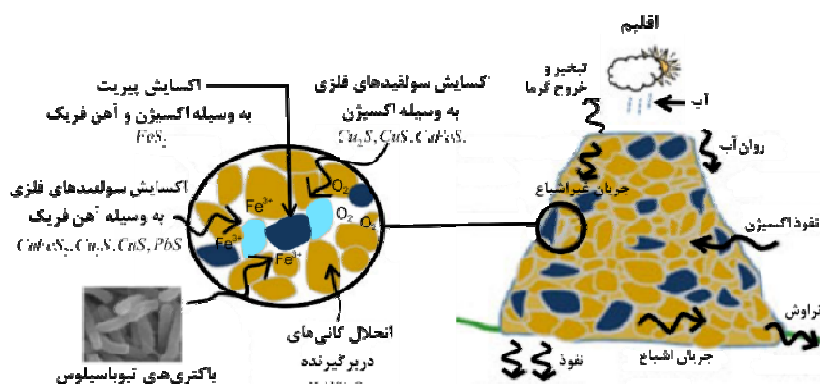
**چکیده:** کانی‌های تازه تشکیل (ثانویه) در نتیجه فرآیندهای اکسایش، آبکافت، ترسیب و آبزدایی در محیط زهاب اسیدی تشکیل می‌شوند. رخداد کانی‌های ثانویه همراه با انباسته شماره ۷ در معدن مس پورفیری میدوک با استفاده از کانی‌شناسی پراش پرتوی ایکس (XRD)، میکروسکوپ الکترونی رامان (SEM) و قلمرنگاری رامان (RS) بررسی شد. بررسی‌های زمین شیمیایی شاخص اشباع و گونه‌زایی بر آب منفذی شبیه‌سازی شده از آزمون pH ۷ گل اشباع انجام شد. مقادیر pH اسیدی (بین ۱/۴۷ تا ۴/۲۳)، غلظت بالای سولفات (بین ۳/۹۵ تا ۲۸۶ گرم بر لیتر) و غلظت بالای آهن (۱۲۰/۹ تا ۷۰۸۶۰ میلی گرم بر لیتر) در شیرابه بیانگر اکسایش سولفیدها به ویژه پیریت در انباسته است. کمپلکس  $\text{FeSO}_4^+$  به عنوان گونه غالب آهن سه ظرفیتی در فاز محلول شیرابه تعیین شد. بر اساس بررسی‌های کانی‌شناسی و زمین شیمیایی، کانی‌های تازه تشکیل شامل کوکوئیمیت، فری کوبیاپیت، پلیموژاروسیت، روزنیت، آلونزن و بروکانتیت همراه با انباسته شناسایی شدند. نگهداشت عناصر آرسنیک، سرب و مس توسط سولفات‌های آهن به ویژه کوکوئیمیت در انباسته تایید گردید. نتایج این پژوهش می‌تواند در طراحی و گسترش برنامه جامع مدیریت زیست‌محیطی مناطق معدنی مورد استفاده قرار گیرد.

**واژه‌های کلیدی:** کانی‌های تازه تشکیل؛ اکسایش پیریت؛ سولفات‌آهن؛ قله نگاری رامان؛ انباسته کم-عیار مس.

حدود ۳/۵، شرتمانیت در pH حدود ۲/۵ تا ۳/۵ و ژاروسیت در pH حدود ۲ مهمنترین خنثی کننده‌ها در شرایط اسیدی به شمار می‌آیند. گروه هیدروکسیدهای آهن (III) و هیدروکسید سولفات‌های آهن (III) (گروه ژاروسیت-آلونیت و شرتمانیت) همراه با سولفات‌های فلزی (کالکانتیت و رمبوکلارز) می‌توانند منبع مقادیر قابل توجهی اسید بر اساس واکنش‌های آبکافت، انحلال-تعادل و یا دگرسانی به کانی‌های ثانویه به شکل پایدار باشند [۶]. بررسی سولفات‌های ثانویه برای گسترش وضعیت سناریوهای ممکن پاکسازی زهاب اسیدی نیز دارای اهمیت است [۷]. در pH ۲ تا ۴ و در حضور غلظت‌های بالای آهن و سولفات، کانی اکسی‌هیدروکسی سولفات آهن غیربلوری

### مقدمه

تشکیل کانی‌های تازه تشکیل (ثانویه) به عنوان فراورده‌های اکسایش کانی‌های سولفیدی (شکل ۱) [۱، ۲]، بازتابی از شرایط آب و هوایی (بارش، دما و تبخیر) مناطق آلوده به زهاب اسیدی است [۲]. بررسی سولفات‌های ثانویه برای درک تعادل فاز مایع-جامد و ارزیابی عناصر بالقوه سمی که ممکن است آن‌ها به وسیله جذب و یا همروسوی با خود حمل نمایند از اهمیت بالایی برخوردار است. ویژگی‌های آب زمین شیمیایی زهاب اسیدی و کانی‌شناسی بیشتر به وسیله سامانه‌های سولفات-آلونیت-آلومینیم کنترل می‌شوند [۳-۵]. گیبیستیت در pH حدود ۴/۳، فری‌هیدریت، و گوتیت در pH



شکل ۱ طرحواره‌ای از مراحل اکسایش پیریت و سولفیدها در حضور اکسیژن و آهن سه ظرفیتی در انباشتہ معدن (برگرفته از مرجع [۱] با تغییرات).

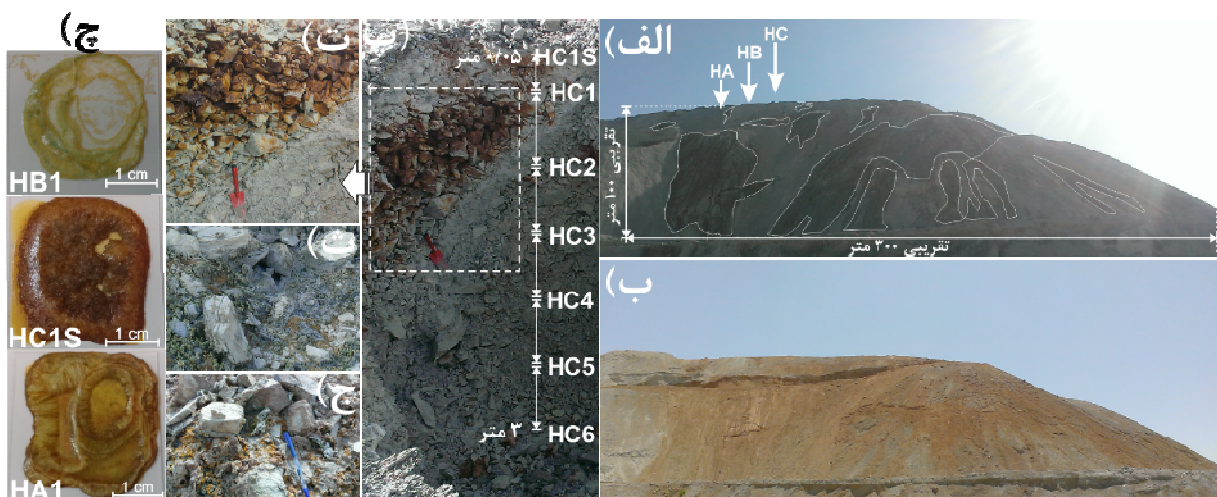
شناسی جامع توسط دستگاه‌های SEM-XRD مجهرز به قله سنج پراش انرژی پرتوی X (EDX) و رامان بر نمونه‌های برداشت شده از انباشتہ کم‌عیار شماره ۷ معدن مس میدوک انجام گرفت. همچنین ترکیب زمین شیمیایی شیرابه به دست آمده از آزمون فروشوبی نمونه‌های خاک با آب مقطر بررسی شد. هدف از این پژوهش به طور خلاصه ۱) شناسایی و بررسی ساختاری کانی‌های تازه تشکیل ناشی از زهاب اسیدی، ۲) بررسی تحرک و جذب سطحی فلزات جزئی در حضور رسوب‌های آهن و آلومینیم و ۳) ارزیابی احتمال تشکیل کانی‌های ثانویه در اعمق انباشتہ بر اساس مدل‌سازی زمین شیمیایی با استفاده از نرم افزار PHREEQC بود.

#### منطقه مورد بررسی

کانسار پورفیری مس-مولیبدن-طلاء میدوک با ذخیره تقریبی ۵۰۰ میلیون تن بر کمرنگ پورفیری کرمان قرار دارد [۱۵]. معدن میدوک در ۴۵ کیلومتری شمال شرقی شهر بابک، در گستره طول جغرافیایی  $9^{\circ} 55'$  و  $11^{\circ} 55'$  شرقی و عرض جغرافیایی  $24^{\circ} 30'$  و  $26^{\circ} 30'$  شمالی واقع است. کانی‌سازی در کانسار میدوک با سن تقریبی ۱۲/۱ میلیون سال (براساس سن‌سنجی رنیوم-اوسمیوم مولیبدنیت) هماه توده نفوذی کوارتز دیوریت با سن تقریبی ۱۲/۵ میلیون سال (برپایه سن‌سنجی اورانیوم-سرپ زیرکن) رخ داده است. میانگین عیار ماده معنی ذخیره به مقدار ۰/۸۶ درصد مس، ۰/۰۱ درصد مولیبدن و ۰/۰۸ گرم بر تن طلا ارزیابی شده است [۱۵]. فعالیت‌های معدنی در میدوک از سال ۱۳۷۵ آغاز شد و تنها در سال ۱۳۹۶ مقدار ۲۴ میلیون تن باطله تولیدی در اطراف معدن انباشت شده است. انباشتہ شماره ۷ با محتوای سولفیدی

شرطمنیت تشکیل می‌شود که توانایی بسیاری در حذف فلزات جزئی آهن، آرسنیک، کروم، سرب و آلومینیم از زهاب اسیدی دارد [۷]. با افزایش مقدار pH در گستره ۴/۵ تا ۶ و ترسیب همه یون‌های آهن، کانی هیدروکسی سولفات آلومینیم غیربلوری با سالونیت تشکیل می‌شود که قابلیت بالایی در حذف فلزات Al، Cu و Si دارد [۳، ۷]. همچنین، امکان بازداشت عنصر روی، مس و آرسنیک توسط کانی‌های گروه کوپیاپیت گزارش شده است [۸]. براساس برخی از بررسی‌های پیشنهاد شده است که سولفات‌های موجود بر سیاره مریخ شامل رومبوکلаз، گروه کوپیاپیت و گروه ژاروسیت از اکسایش کانی‌های سولفیدی در محیط آبی تولید شده‌اند [۹]. بنابراین، بررسی محیط‌های سولفات‌های سیلیکاتی افزون بر کاربرد در زمینه بررسی‌های زمین شیمیایی مریخ، می‌تواند از طریق تهیه نقشه‌های پراکندگی کانی‌های ثانویه و نقشه‌های برآورده pH با استفاده از داده‌های فرآلهی هوایی، به کشف زودهنگام آلودگی زهاب اسیدی از طریق پردازش تصاویر کمک نماید [۱۰، ۱۱]. الگوهای پراش پرتوی X (XRD) پیچیده همراه با همپوششی زیاد قله‌ها و عدم اطلاع از شبکه بلوری و حالت آبدار بودن در میکروسکوپی الکترونی روشی (SEM) از معایب این روش‌ها در شناسایی سولفات‌های ثانویه است [۱۲]. قله سنج لیزر رامان برای کانی‌شناسی سریع هدف و نمونه‌برداری برای بررسی‌های تکمیلی بر جستجوگر عملیات مریخ<sup>۱</sup> انجام شده است [۱۳]. در این بررسی‌ها، کارایی روش رامان در شناسایی اکسیدهای آهن (II)، هیدروکسیدهای و اکسی‌هیدروکسی سولفات‌ها به اثبات رسیده است [۱۴، ۱۲]. در این پژوهش، ارزیابی‌های کانی-

برداری از سطح تا عمق ۴ متری انباشته با فواصل تقریبی ۵۰ سانتی‌متر در سه مقطع عمودی HA و HB و HC انجام شد. در مجموع، تعداد ۱۹ نمونه جامد برداشت و در کیسه‌های پلاستیکی نگهداری شد. پراش پرتوی ایکس نمونه‌های جامد توسط دستگاه Bruker AXS در آزمایشگاه پرتوی ایکس، دانشکده مهندسی معدن، دانشگاه تهران انجام شد. درصد فراوانی کانی‌ها توسط نرم‌افزار EVA به طور کیفی تعیین شد. نمونه‌های جامد با آب مقطر (با نسبت وزنی ۱ به ۲) مخلوط و به مدت ۱۲ تا ۱۶ ساعت برای برقاری تعادل بین فاز جامد و مایع نگهداری شد [۱۷]. برای هر نمونه، شیرابه از گل اشبع با استفاده از صافی و پمپ مکش با فشار خلا ۸۰ کیلوپاسکال استخراج شد. پارامترهای فیزیکی-شیمیایی نمونه‌های شیرابه شامل pH، رساندنگی الکتریکی (EC) و پتانسیل اکسایش-کاهش (ORP) اندازه‌گیری شد. غلظت سولفات محلول با روش کدورت سنجی با  $\text{BaCl}_2$  و با استفاده از دستگاه قله سنج نوری مدل Varrian-Carry1E در آزمایشگاه هیدروژئولوژی و محیط‌زیست معدنی، دانشکده مهندسی معدن، دانشگاه تهران تعیین شد. غلظت عناصر عمده و جزئی محلول به روش قله سنجی نشر نوری پلاسمای جفت شده القایی (ICP-OES) در آزمایشگاه شرکت مطالعات مواد معدنی زرآزما تعیین شد. برای بررسی کانی‌های تازه تشکیل، ۱ میلی‌لیتر از شیرابه روی لام شیشه‌ای در معرض هوا و در دمای آزمایشگاه قرار داده شد. کارایی این روش برای شناسایی کانی‌های ثانویه برآمده از تبخیر نمونه‌های زهاب اسیدی به اثبات رسیده است [۱۸].



شکل ۲ انباشته شماره ۷ معدن مس میدوک: (الف) دی ماه ۱۳۹۵، (ب) مرداد ماه ۱۳۹۶، (پ) محل نمونه‌برداری HC، (ت) تشکیل کانی‌های ثانویه در عمق ۲۰ سانتی‌متری HC، (ث، ج) کانی‌های گل کلمی بر سطح انباشته، (ج) رسوب‌های خشک شده از شیرابه بر لام آزمایشگاهی.

بالا و عیار مس کمتر از ۰/۲ درصد (پایین‌تر از عیار حد برای فرآیند دو ظرفیتی‌شویی توده‌ای) از سال ۱۳۸۷ غیرفعال شده و هیچ‌گونه ماده‌ای بر آن انباشته نشده است. حضور پیریت و سایر سولفیدهای مس شامل کالکوسیت، کوولیت، برنزیت و کالکوپیریت همراه با انباشته شماره ۷ تایید شده است. کوارتز به عنوان مهمترین باطله همراه با مواد انباشته است [۱۶].

#### شرایط اقلیمی

شرایط اقلیمی منطقه معدن میدوک با استفاده از داده‌های هواشناسی ۵ ساله (بین سال‌های ۱۳۹۲ تا ۱۳۹۷) مربوط به ایستگاه مستقر در معدن میدوک بررسی شد. معدن میدوک در ارتفاع تقریبی ۲۷۰۰ تا ۲۸۵۰ متر بالاتر از سطح دریا واقع است. اقلیم آن با میانگین دمای سالانه ۱۳/۱ درجه سانتیگراد، میانگین بارش سالانه ۲۵۳/۸ میلی‌متر و میانگین رطوبت نسبی ۳۹/۵ درصد از نوع گرم و خشک رده‌بندی می‌شود. رطوبت نسبی صفر در ماه‌های خرداد و تیر سال ۱۳۹۳ و رطوبت نسبی ۱۰۰ درصد برای آذر، دی، بهمن و اسفند سال‌های ۱۳۹۴ و ۱۳۹۳ در این منطقه گزارش شده است.

#### نمونه‌برداری و روش بررسی

با تغییر فصل از زمستان به تابستان، رنگ اخراجی ناشی از اکسایش سولفیدها و تشکیل کانی‌های ثانویه بر سطح انباشته کم‌عیار شماره ۷ معدن مس میدوک قابل مشاهده است (شکل ۲). طی بازدیدهای صحراوی، هیچ‌گونه تراویشی در کف و اطراف این انباشته دیده نشد. برای بررسی کانی‌های ثانویه، نمونه

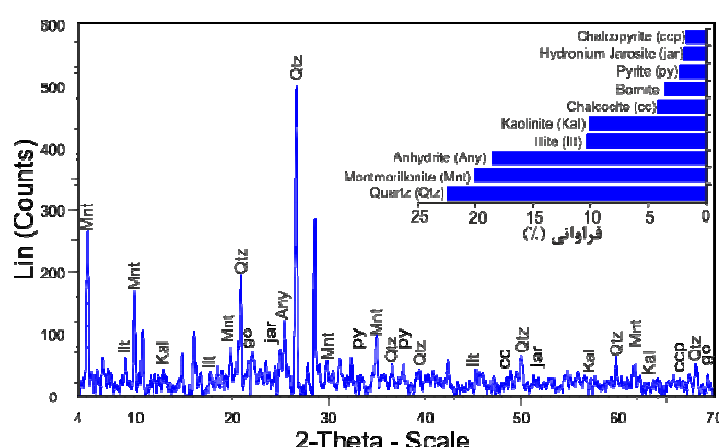
آهن رخ می‌دهد (شکل ۲). ترسیب سولفات‌های آهن موجب تشکیل لایه‌های سخت و نفوذ ناپذیر درون انباسته می‌شود. بیشترین غلظت مس شیرابه در گستره ۲۱۲۵ تا ۴۶۹۳ میلی-گرم بر لیتر در نیمرخ HB دیده شد. بیشترین میانگین غلظت آهن شیرابه در نیمرخ‌های HC و HA به ترتیب با مقادیر ۱۲۸۳۹ و ۳۴۲۱/۶ میلی‌گرم بر لیتر به دست آمد. بیشترین میانگین غلظت آلومینیم شیرابه در نیمرخ‌های HC و HB با مقادیر ۴۱۱۳/۸ و ۱۹۹۹/۰۸ میلی‌گرم بر لیتر تعیین شد.

### بررسی‌های کانی‌شناسی پراش پرتوی ایکس

نتایج پراش پرتوی ایکس نمونه‌ها حضور کانی ثانویه سولفاتی هیدرونیوم ژاروسیت ناشی از اکسایش پیریت در بخش سطحی انباسته شماره ۷ را نشان داد (شکل ۳). کانی‌های هیدرونیوم ژاروسیت و گوتیت به ترتیب با فراوانی کیفی ۱/۹ و ۵ درصد از جمله کانی‌های ثانویه برآمده از ترسیب زهاب اسیدی است. ساختار بلوری کانی‌های سولفاتی به صورت سلسله مراتبی از چیدمان و بسپارش/بلیمرشدگی واحدهای چار و هشت وجهی شامل ۱) چند وجهی‌های مجزا، ۲) خوش‌های محدود، ۳) زنجیره‌های نامحدود، ۴) ورقه‌های نامحدود و ۵) چهارچوب‌های نامحدود ساخته می‌شوند [۱].

جدول ۱ مقادیر پارامترها و غلظت عناصر در شیرابه (تعداد ۱۹ نمونه) به دست آمده از آزمون فروشويي مواد انباسته شماره ۷، معدن ميدوک.

HC			HB			HA			پارامتر واحد
بیشینه	میانگین	کمینه	بیشینه	میانگین	کمینه	بیشینه	میانگین	حداقل	
۴۲۳	۲۷۶	۱۴۷	۳۶۸	۳۲۵	۲۷۸	۲۶۴	۲۴۴	۲۲۹	pH-
۴۸۰	۳۸۹/۸	۲۶۵	۴۲۹	۳۵۹/۸	۳۳۴	۴۷۹	۴۵۲/۶	۴۳۰	ORPmV
۲۴۱	۱۱	۲۵۴	۱۲۴۶	۹۵۳	۶۵۲	۱۶۳۵	۱۱۰/۴	۶۶۸	ECmS/cm
۲۸۶	۵۶۳/۷	۲۹۵	۲۶۲	۱۶۷۸	۸۳	۴۲/۴	۲۲۰/۲	۸۵	SO <sub>4</sub> <sup>2-</sup> g/L
۱۵۰۲۳	۴۱۱۳/۸	۱۲۲۲	۲۹۷۷	۱۹۹۹/۰۸	۸۳۰	۲۱۴۵	۱۴۹۷/۰۸	۶۷۴	Almg/L
۲۹۱۵	۷۱۹/۷	۳۴۷۸	۴۶۹۳	۳۰۴۴/۸	۲۱۲۵	۲۰۹۴	۱۷۲۰/۳	۱۱۴۴	Cumg/L
۷۰۸۶۰	۱۲۸۳۹	۱۰۰/۹	۱۷۰۰	۱۰۴۷/۵	۲۷۰	۴۷۱۰	۳۴۲۱/۶	۱۱۳۰	Femg/L
۱۳۹	۸۰/۳	۱۲۲	۹۰/۹	۲۴۳۴	۰۴۶	۳۰/۹	۱۶۱	۰۶۷	Kmg/L



شکل ۳ نتایج پراش پرتوی ایکس نمونه خاک (HC1S) در بخش به شدت هوازده نیمرخ HC از انباسته شماره ۷.

تجزیه شیمیایی نقطه‌ای و تصویرگیری با میکروسکوپ الکترونی روبشی مدل CamScan MV2300 در دانشکده مهندسی مواد و متالورژی، دانشگاه تهران انجام شد. قله‌های رامان با استفاده از لیزر Nd: YAG در طول موج ۵۳۲ نانومتر، دستگاه شهید بهشتی تهیه شد. شاخص اشباع (S.I.) کانی‌های ثانویه و گونه‌زایی نمونه‌های شیرابه با استفاده از نرمافزار PHREEQC مجهز به پایگاه داده WATEQ4F پیش‌بینی شد [۱۹].

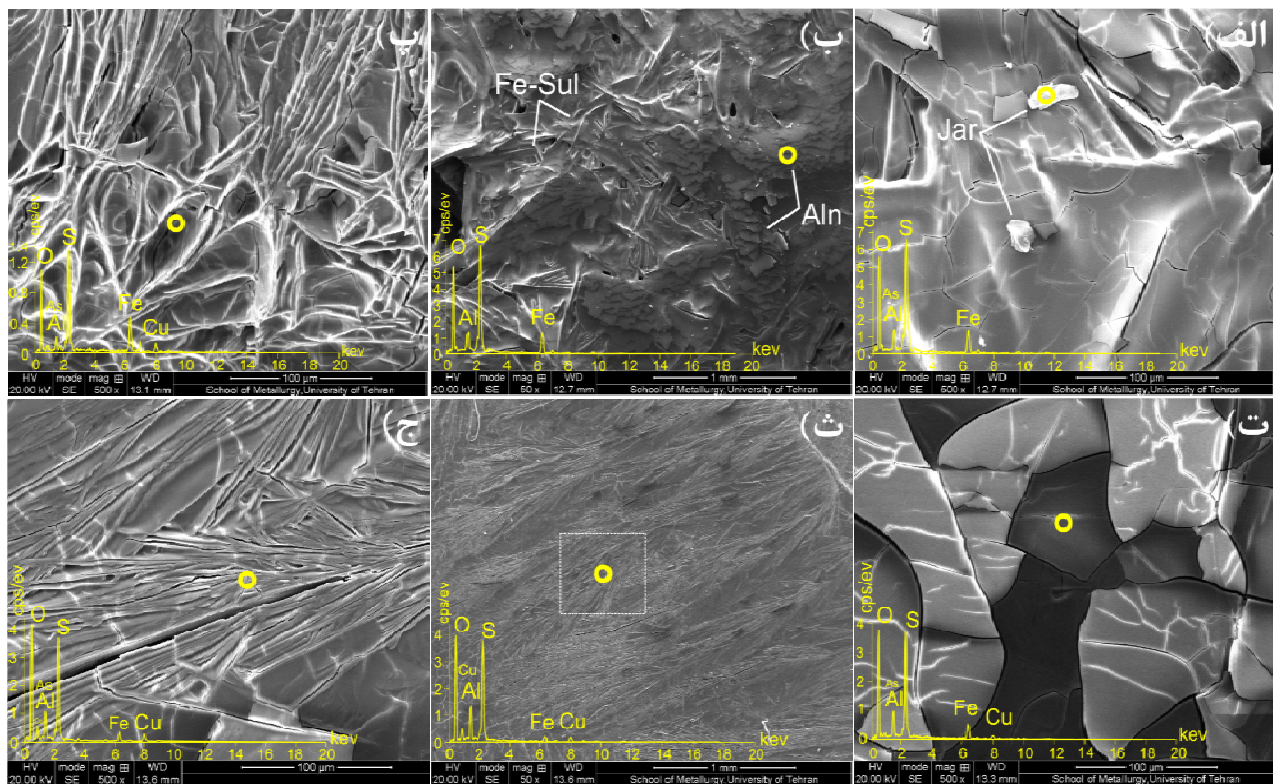
### بحث و بررسی

ویژگی‌های فیزیکوشیمیایی شیرابه مقدار pH شیرابه‌ها در نیمرخ‌های HC و HB به ترتیب در گستره ۲۲۹ تا ۲۶۴، ۲۷۸ تا ۳۶۸ و ۱۴۷ تا ۴۲۳ ویژگی اسیدی آنها را نشان داد (جدول ۱). غلظت بالای سولفات در گستره ۲۸۶ تا ۲۸۰ میلی‌گرم بر لیتر بیانگر از اکسایش پیریت و تولید زهاب اسیدی در این انباسته است. شیرابه پیریت با کمترین pH، بیشترین پتانسیل اکسایش-کاهش، بیشترین غلظت سولفات و آهن، بیشترین شدت اکسایش pH پیریت در بین سایر نمونه‌ها را نشان داد. با تغییر مقدار pH نفوذ شیرابه به عمق انباسته، ترسیب کانی‌های سولفات

بزرگتر از نمونه HB1، رشته‌هایی از کانی‌های ثانویه با ترکیب سولفات‌های مس و آلومنیم را نشان می‌دهد. افزایش بزرگنمایی تصویر احتمال همراهی بلورهای رشته‌ای آنتلریت و بروکانتیت را نشان می‌دهد (شکل ۴ ج). بر اساس ترکیب شیمیایی، همراهی آلومنیم با سولفات‌های مس نیز به اثبات رسید. شکل‌های بلوری رشته‌ای و مخلوط در تصاویر SEM ناشی از کانی‌های مربوط به خودگی مس از جمله آنتلریت و بروکانتیت گزارش شده است [۲۲]. حضور سولفات‌های مس در نمونه HB1 با بیشترین غلظت شیرابه مس در نیمرخ HB همخوانی دارد. همچنین، سولفات‌های مس بروکانتیت و آنتلریت به راحتی با توجه به رنگ سبز آنها در نمونه رسوب قابل تشخیص هستند (شکل ۲). کانی‌های ثانویه گل کلمی ممکن است به صورت خالص تشکیل شوند، ولی اغلب در طبیعت به صورت مخلوط‌هایی پیچیده از چند کانی یافت می‌شوند. بنابراین شناسایی دقیق آن‌ها نیازمند ترکیبی از روش‌های دستگاهی است.

### میکروسکوپ الکترونی روبشی

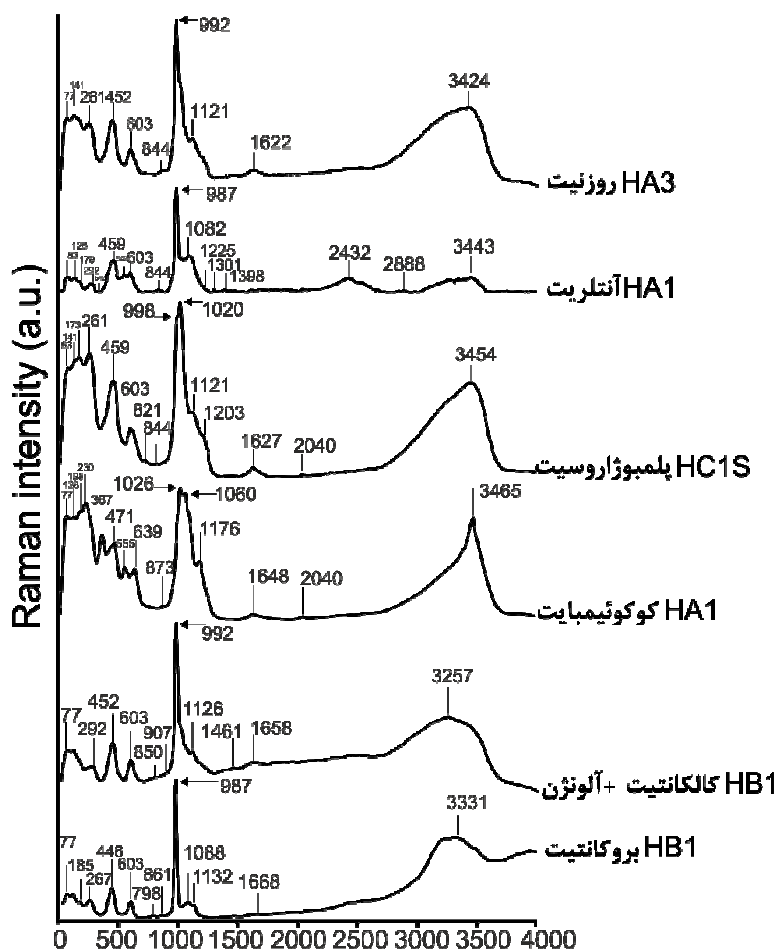
برای شناسایی نوع و ترکیب کانی‌های ثانویه همراه با نمونه‌های رسوب HC1S، HA3 و HB1 از میکروسکوپ الکترونی روبشی استفاده شد. با مقایسه ریخت‌شناسی و نتایج تجزیه شیمیایی نقطه‌ای، کانی‌های ژاروسیت و آلونزن نمونه HC1S شناسایی شد (شکل‌های ۴ الف و ب). کانی آلونزن به صورت گل کلمی و سفید رنگ با بلورهای الیافی در نمونه‌های دستی قابل تشخیص است. شکل تیغه‌ای بلورهای آلونزن در تصاویر SEM و تشکیل آن در محیط‌های اکسایش پیریت همراه با مسکویت در بررسی‌های پیشین گزارش شده است [۲۰]. حضور سولفات‌های آهن از جمله کوکوئیمبیت و فری کوپیاپیت در نمونه HA3 نشان از شدت اکسایش پیریت در عمق ۱۵۰ سانتی‌متری نیمرخ HA دارد (شکل‌های ۴ پ و ت). بلورهای تیغه‌ای شکل و در هم پیچیده از مشخصه‌های بلور کوکوئیمبیت هستند [۲۱]. حضور کانی‌های سولفات آهن و آلومنیم در نمونه‌های HC1S و HA3 با مقدار بالای آهن و آلومنیم شیرابه در این نیمرخ‌ها همخوانی دارد (جدول ۱). تصویر SEM در نمایی



شکل ۴ تصاویر میکروسکوپ الکترونی و تجزیه شیمیایی نقطه‌ای، الف) ژاروسیت (نمونه HC1S)، ب) آلونزن (Aln) و سولفات‌های آهن (Fe-Sul)، پ) کوکوئیمبیت، ت) فری کوپیاپیت، ث) سولفات‌های آلومنیم و مس. گستره مشخص شده در تصویر ج آورده شده است، ج) آنتلریت.

مد خمثی آب در ارتباط است. همچنین، قله رامان در ۳۴۶۵ بر سانتی متر به نوسانهای مد کششی آب نسبت داده می‌شود. ساختار کانی‌های خانواده ژاروسیت براساس پیوند بین واحدهای هیدروکسیل و اکسیژنهای گروه سولفات قابل تشخیص است. چاروچهی‌های سولفات تحت تاثیر کاتیون هشت وجهی قرار داشته و متاثر از کاتیون نک باشد [۲۴]. مدد خمثی ۷۲ در ۴۵۹ بر سانتی متر دیده شد. مد کششی متقارن سولفات، ۷۱ در قله رامان برای کانی پلمبوژاروسیت در مکان‌های ۹۹۸ و ۱۰۲۰ بر سانتی متر ثبت شد. نوارهای کششی نامتقارن سولفات، ۷۳ برای پلمبوژاروسیت در مکان‌های ۱۱۲۱ و ۱۲۰۳ بر سانتی متر دیده شد. نوع کاتیون در خانواده ژاروسیت باعث تغییر مکان قله‌های کششی متقارن و نامتقارن سولفات در قله رامان می‌شود [۲۴]. در نمونه رسوب HA3، مد کششی متقارن گروه سولفات، ۷۱ قله رامان، برای روزنیت به وسیله قله شدید در ۹۹۲ بر سانتی متر شناسایی شد.

**قله‌سنجدی رامان**  
قله‌سنجدی رامان بر رسوب‌های شیرابه در تایید نتایج مربوط به شناسایی کانی‌های سولفاتی در بررسی‌های XRD و SEM انجام شد. از مقایسه قله‌های رامان با قله‌های مراجع [۲۳، ۲۶]، سولفات‌های آهن شامل کوکوئیمیت، روزنیت و پلمبوژاروسیت، سولفات آلومینیم شامل آلونزن و سولفات‌های مس شامل کالکانتیت، بروکانتیت و آنتلریت شناسایی شدند (جدول ۲ و شکل ۵). قله‌های رامان برای کانی کوکوئیمیت در گستره ۳۰۰ تا ۸۰۰ بر سانتی متر، پیچیدگی ناحیه کششی نامتقارن مربوط به خمثی ۷۲، را نشان می‌دهند. قله‌های شدید رامان مربوط به مد خمثی ۷۲ در عدد موج‌های ۳۶۷، ۴۷۱ و ۵۵۵ بر سانتی متر دیده شد. مشاهده چند قله در این گستره می‌تواند به دلیل کاهش تقارن آنیون سولفات و هم ارز نبودن همه آنیون‌های سولفات در ساختار کوکوئیمیت باشد [۲۳]. قله شدید رامان در ۲۳۰ بر سانتی متر به ارتعاش‌های کششی FEO مربوط است. قله متوسط رامان در ۱۶۴۸ بر سانتی متر با



شکل ۵ قله‌های رامان شامل قله‌های شاخص سولفات‌های مورد بررسی در انباشته شماره ۷ معدن میدوک.

جدول ۲ قله‌های ارتعاشی اصلی در طیف رامان نمونه‌های سولفات‌ثانویه همراه انباسته شماره ۷، معدن مس میدوک.

M-O و حالت شبکه	قله ارتعاشی $H_2O$			قله ارتعاشی $SO_4$				کانی
	جنبشی	خمشی	کششی	$\nu_4$	$\nu_3$	$\nu_2$	$\nu_1$	
۲۶۱	۸۲۱	۱۶۲۷	۳۴۵۴	۶۰۳	۱۱۲۱ ۱۲۰۳	۴۵۹	۹۹۸ ۱۰۲۰	پلیبوژاروسیت
۲۲۰	۸۷۳	۱۶۴۸	۳۴۶۵	۶۳۹	۱۱۷۶	۴۷۱، ۳۶۷ ۵۵۵	۱۰۲۶ ۱۰۶۰	کوکوئیمبیت
۲۶۱	-	۱۶۲۲	۳۴۲۴	۶۰۳	۱۱۲۱	۴۵۲	۹۹۲	روزنیت
۲۹۲ ۱۲۸	۸۵۰	۱۴۶۱ ۱۶۵۸	۳۲۵۷	۶۰۳	۱۱۲۶	۴۵۲	۹۹۲	کالکانتیت + آلونزن
۴۴۶	۷۹۸ ۸۶۱	۱۶۶۸	۳۳۳۱	۶۰۳	۱۰۸۸ ۱۱۲۲	۴۴۶	۹۸۷	بروکانتیت
۲۹۲	۸۴۴	۱۳۰۱ ۱۳۹۸	۳۴۴۳	۶۰۳	۱۰۸۲ ۱۲۲۵	۴۵۹	۹۸۷	آنتریت

داشت که قله رامان به علت مد  $\nu_2$  سولفات‌های طور قابل توجهی با مد کششی  $Cu-O$  مخلوط شده است.

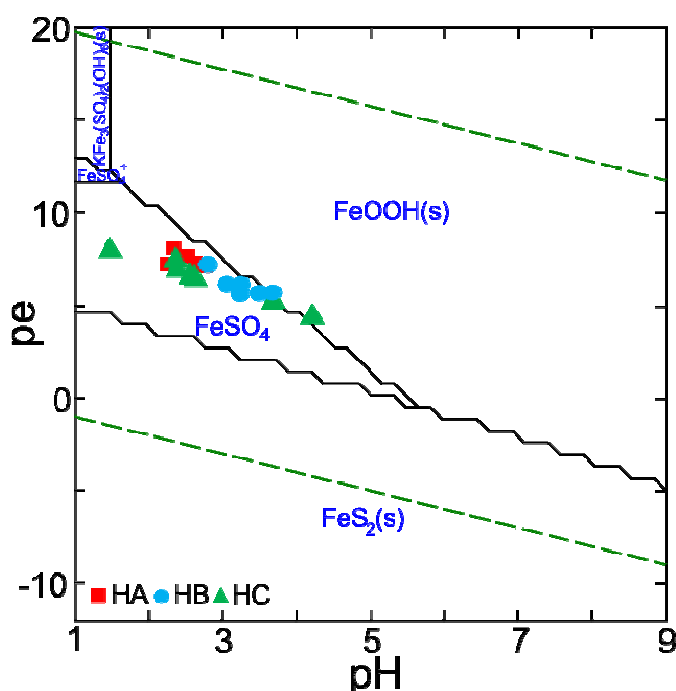
#### مدل‌سازی زمین شیمیایی شیرابه

توزیع گونه‌های آهن به مقادیر pH وابسته است. در مقادیر pH کمتر از ۳/۵، کمپلکس سولفات  $FeSO_4^{+}$  گونه غالب آهن سه ظرفیتی در فاز محلول شیرابه است (شکل ۶). در فاز رسوب، با افزایش مقادیر پتانسیل اکسایش-کاهش، احتمال رسوب کانی پتانسیم ژاروسیت برای آهن سه ظرفیتی وجود دارد. با افزایش مقادیر pH، احتمال ترسیب آهن سه ظرفیتی محلول به صورت کانی گوتیت وجود دارد. همچنین،  $FeSO_4$  گونه غالب آهن دو ظرفیتی در فاز محلول شیرابه است. در بیشتر نمونه‌ها،  $FeSO_4$  کمپلکس غالب است و در برخی از آن‌ها از جمله نمونه HC2 امکان ترسیب کانی گوتیت وجود دارد. بر اساس مقادیر برآورده شده برای شاخص اشباع (جدول ۳)، سولفات‌های آهن سه ظرفیتی شامل ژاروسیت آرسنیک-سرپ و پلیبوژاروسیت در نمونه‌های شیرابه در حالت ابر اشباع قرار دارند. سولفات‌های آهن دو ظرفیتی شامل ملانتریت و سیدروتیل در برخی از نمونه‌های شیرابه کمی حالت ابر اشباع دارند. اکسی-هیدروکسیدهای آهن شامل گوتیت و هماتیت در شیرابه انباسته به صورت ابر اشباع هستند. سولفات‌های آلومینیم شامل آلونیت، باسالونیت و جوربانیت همراه با هیدروکسیدهای آلومینیم گیبسیت و بوهمیت در برخی از نمونه‌های شیرابه در حالت ابر اشباع قرار دارند. سولفات‌های مس از جمله

مد خمشی متقارن  $\nu_2$  و مد  $\nu_3$  قله رامان به ترتیب در ۴۵۹ و ۱۱۲۱ بر سانتی‌متر ثبت شد. مدهای نوسانی کششی و خمشی آب به ترتیب در عدد موج‌های ۳۴۲۴ و ۱۶۲۲ بر سانتی‌متر دیده شدند [۲]. قله رامان در ۹۹۲ بر سانتی‌متر به نوسان کششی متقارن  $\nu_7$  نسبت داده می‌شود. نوسان کششی نامتقارن  $\nu_3$  در ۱۱۲۶  $cm^{-1}$  قابل مشاهده است. قله رامان در ۳۲۵۷ بر سانتی‌متر مربوط به نوسان کششی آب است [۲۵]. در نمونه مورد بررسی برای بروکانتیت، قله‌های در ۱۰۸۸ و ۱۱۳۲ بر سانتی‌متر برای مد  $\nu_3$ ، قله ۹۸۷ بر سانتی‌متر برای  $\nu_1$  و قله ۶۰۳ بر سانتی‌متر مربوط به مد  $\nu_4$  هستند که حضور گروه‌های سولفات در ساختار کانی مورد بررسی را نشان می‌دهند. نوارهای مد کششی  $Cu-O$  در گستره ۳۷۰ تا ۵۱۰ بر سانتی‌متر حضور دارد و با شدتی کمی بیش از گروه OH در ترکیب شیمیایی بروکانتیت ظاهر می‌شوند. قله رامان، مد کششی متقارن  $\nu_1$  برای آنتلریت را در ۹۸۷ بر سانتی‌متر نشان داد. مد کششی نامتقارن  $\nu_3$  در ۱۰۸۲ و ۱۲۲۵ بر سانتی‌متر و  $\nu_4$  در ۶۰۳ بر سانتی‌متر دیده شدند. قله رامان برای بروکانتیت و آنتلریت در طول موج‌های پایین، به ویژه برای  $\nu_2$  بسیار مشابه است [۲۶]. قله رامان بسامد بالا در ۱۱۲۶ بر سانتی‌متر مربوط به مد نامتقارن سولفات،  $\nu_3$ ، است. در حالی که شدیدترین قله رامان در ۹۹۲ بر سانتی‌متر دیده شد که مربوط به مد کششی متقارن سولفات،  $\nu_1$ ، است. سایر قله‌های کالکانتیت برای مدهای خمشی سولفات خارج از صفحه ( $\nu_2$ ) و در صفحه ( $\nu_4$ ) به ترتیب در ۴۵۲ و ۶۰۳ بر سانتی‌متر دیده شد. این نکته را باید در نظر

در گستره ۳/۴۶-۰/۲۳ تا ۰/۵۹ در نمونه‌های شیرابه اشاره کرد. ترسیب کانی‌های اسکروودیت و پلمازوژاروسیت با حلایت بسیار کم به ترتیب با لگاریتم ثابت حلایت ۲۵/۸۳ و ۲۸/۴۳، موجب تثبیت عناصر آرسنیک و سرب محلول در شیرابه انباسته می‌شود. سنگ گچ با شاخص اشباع ۰/۹۸-۰/۵ در برخی از نمونه‌های شیرابه ابر اشباع است.

کالکانتیت، آنتلریت و بروکانتیت در هیچ نمونه‌ای از شیرابه ابر اشباع نیستند. همچنین، سولفات‌های آهن و آلومینیم شامل کوکوئیمبیت، فری کوپیاپیت، هیدرونیوم ژاروسیت و آلونژن در هیچ نمونه‌ای از شیرابه در حالت ابر اشباع قرار ندارند. بنابراین، بیشتر آهن به صورت کمپلکس‌های محلول به عمق انباسته منتقل می‌شود. از کانی‌های ثانویه آرسنیک و سرب، می‌توان به ابر اشباع بودن اسکروودیت ( $\text{FeAsO}_4 \cdot 2\text{H}_2\text{O}$ ) با شاخص اشباع



شکل ۶ نمودار pe-pH برای میانگین لگاریتم فعالیت  $\text{Fe}^{2+}$ ,  $\text{K}^+$  و  $\text{SO}_4^{2-}$  به ترتیب برابر با ۰/۲۵، ۰/۴۲۱ و ۱/۹۲.-.

جدول ۳ پیش‌بینی تشکیل کانی‌های ثانویه آهن، آلومینیم و مس در نمونه شیرابه مربوط به انباسته شماره ۷ میدوک.

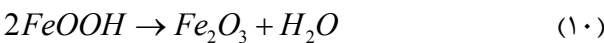
کانی ثانویه	فرمول شیمیایی	کمینه	میانگین	بیشینه	میانه	انحراف معیار
کوکوئیمبیت	$\text{Fe}_{1.47}\text{Al}_{0.53}(\text{SO}_4)_3 \cdot 9.65(\text{H}_2\text{O})$	-۲۰/۵	-۱۲/۵۸	-۶/۵۱	-۱۲/۶۶	۳/۱۴
PbAs ژاروسیت	$(\text{H}_3\text{O})_{0.68}\text{Pb}_{0.32}\text{Fe}_{2.86}(\text{SO}_4)_{1.69}(\text{AsO}_4)_{0.31}(\text{OH})_{5.59}$	-۴/۹۵	-۰/۹۴	۲/۰۶	-۱/۵۷	۱/۹۲
پلمازوژاروسیت	$\text{Pb}_{0.5}\text{Fe}_3(\text{SO}_4)_2(\text{OH})_6$	-۱۵/۳۲	۰/۰۰۱	۱۵/۲۵	۸/۸۵	۱۳/۰۷
گوتیت	$\text{FeOOH}$	-۰/۳۷	۰/۹۶	۱/۷۶	۱/۰۵	۰/۵۸
همانیت	$\text{Fe}_2\text{O}_3$	۱/۳۱	۳/۹۴	۵/۵۲	۴/۱	۱/۱۶
روزنیت	$\text{FeSO}_4 \cdot 4\text{H}_2\text{O}$	-۴/۴۷	-۲/۱۶	-۰/۰۷	-۲/۱۱	۰/۸۹
سیدروتیل	$\text{FeSO}_4 \cdot 5\text{H}_2\text{O}$	-۴/۲	-۱/۹	۰/۱۶	-۱/۸۴	۰/۸۸
آلونیت	$\text{Al}_4(\text{OH})_{10}\text{SO}_4$	-۵/۷۴	۰/۹	۱۰/۲۴	-۰/۲۹	۴/۳۱
آلونژن	$\text{Al}_2(\text{SO}_4)_3 \cdot 17\text{H}_2\text{O}$	-۷/۱۸	-۵/۸۷	-۴/۲۹	-۵/۹۱	۰/۶۳
بوهمیت	$\text{AlOOH}$	-۷/۴۶	-۳/۲۳	۲/۰۱	-۴/۰۶	۲/۲۳
کالکانتیت	$\text{CuSO}_4 \cdot 5\text{H}_2\text{O}$	-۳/۳۱	-۱/۹۲	-۰/۹۳	-۱/۶۵	۰/۸
آنتلریت	$\text{Cu}_3(\text{OH})_4\text{SO}_4$	-۱۲/۲۷	-۶/۸	-۲/۰۴	-۶/۹۱	۳/۲۱
بروکانتیت	$\text{Cu}_4(\text{OH})_6\text{SO}_4$	-۱۸/۴۲	-۱۰/۸۳	-۳/۹	-۱۱/۲۲	۴/۷



در pHهای بیشتر از ۴/۵ و کمتر از ۶، هیدروکسیدهای آهن از جمله گوتیت بر اساس فرآیند آبکافت تشکیل می‌شود (واکنش ۸). در نتیجه این واکنش تعادلی سه مول اسید تولید و یا مصرف می‌شود.



کانی‌های پتابسیم ژاروسیت به کندی و در مدت زمان طولانی دگرسان و به گوتیت تبدیل می‌شوند (واکنش ۹). این تبدیل با تولید ۳ مول اسید همراه است. آهن دو ظرفیتی در آخرین مرحله با گذشت زمان طولانی از گوتیت به همایت دگرسان می‌شود (واکنش ۱۰).

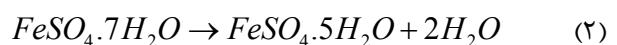
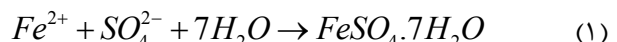


امکان ترسیب و انحلال دوباره برخی دیگر از کانی‌های ثانویه شامل هالوتربیکیت، کالکانتیت و سنگ گچ به ترتیب برپایه واکنش‌های (۱۱) تا (۱۳) در اباسته شماره ۷ میدوک وجود دارد.

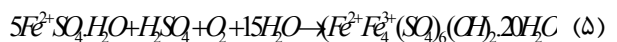
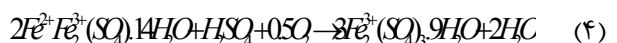


### مدل مفهومی تشکیل کانی‌های ثانویه

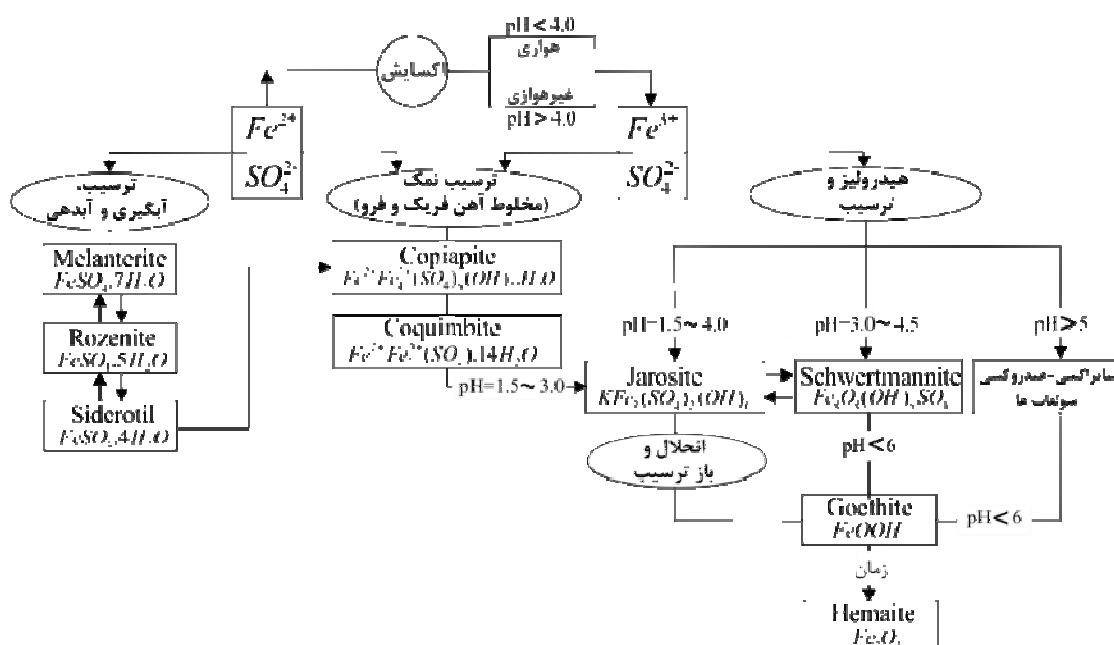
تعادل‌های پیچیده موجود که وابسته به pH، دما، فشار بخار آب، غلظت‌های اسید و یون‌های آهن دو ظرفیتی و سه ظرفیتی آب منفذی است بر تشکیل کانی‌های سولفات‌آهن اثر گذار است [۵، ۱۴، ۲۷، ۲۸]. حضور آهن دو ظرفیتی ناشی از اکسایش پیریت طی فرآیندهای ترسیب، آبگیری و آبزدایی می‌شود (شکل ۷). بر اساس تغییرات دما و رطوبت نسبی، چرخه آبزدایی منجر به تبدیل ملانتریت به سیدروتیل می‌شود:



بر اساس شرایط هوایی یا بی‌هوایی، اکسایش آهن دو ظرفیتی به سه ظرفیتی در محلول آب منفذی رخ می‌دهد. بنابراین، سولفات‌های آهن مرکب دو ظرفیتی و سه ظرفیتی شامل کوکوئیمبیت و کوپیاپیت به ترتیب برپایه واکنش‌های (۴) و (۵) از آب منفذی رسوب می‌نماید.



در pHهای کمتر از ۴/۵، سولفات‌های آهن سه ظرفیتی ژاروسیت، پلمبوزاروسیت و شرتمانیت در نتیجه فرآیندهای ترسیب تشکیل می‌شود:



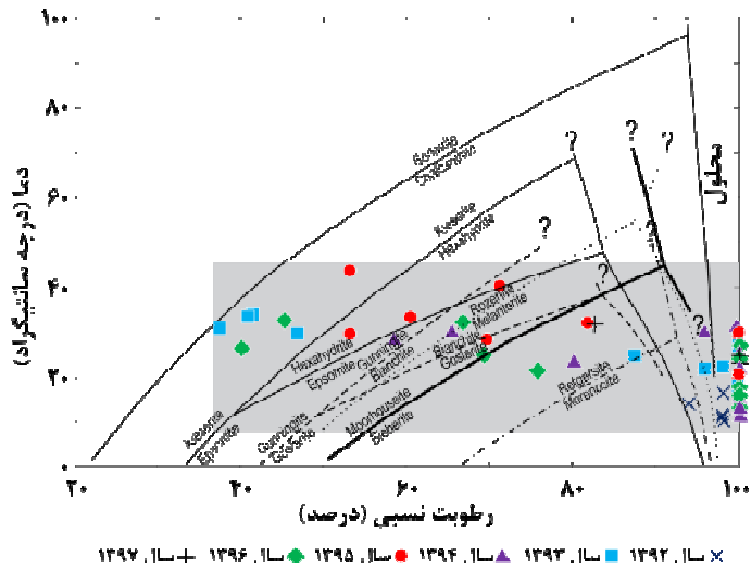
شکل ۷ مراحل تشکیل کانی‌های ثانویه در اباسته باطله شماره ۷، معدن مس میدوک.

رطوبت نسبی پایین‌تر از ۲۰ درصد گزارش شده است. دماهای بالاتر (معمولًا بیش از ۹۰ درجه سانتی‌گراد) منجر به تشکیل سولفات‌آلومینیم بدون آب می‌شود [۳۰]. با توجه به شناسایی کانی‌های ثانویه سولفات‌آهن کوکوئیم‌بیت و روزنیت و سولفات‌آلومینیم آلونژن، می‌توان نتیجه گرفت که منطقه معدن مس میدوک دارای اقلیم گرم و خشک با میانگین دمای زیر ۴۰ درجه سانتی‌گراد است. این نتیجه‌گیری با رسم داده‌های هواشناسی مربوط به دما و رطوبت نسبی هوا در منطقه معدن میدوک نسبت به شرایط تشکیل سولفات‌های ثانویه به خوبی تایید می‌شود (شکل ۸). بنابراین امکان بررسی تشکیل کانی‌های روزنیت، ملانتریت و کالکانیت تنها بر اساس شرایط آب و هوایی معدن میدوک وجود دارد. اهمیت شرایط اقلیمی در فرآیندهای تشکیل کانی‌های ثانویه منجر به گسترش و هدایت تحقیقات در زمینه نقش شرایط آب و هوایی سیاره مریخ بر تشكیل این کانی‌ها شده است. نتایج نشان داده است که فرآیند آب‌زدایی برای سولفات‌های منیزیم و آهن دو ظرفیتی در سیاره مریخ بسیار سریع‌تر از زمین رخ می‌دهد [۳۱].

نقش کانی‌های ثانویه در نگهداشت و رهاسازی فلزات و شبه‌فلزات ترکیب شیمیایی ژاروسیت نشان می‌دهد که افزون بر اکسیژن (۳۳/۲۷ درصد وزنی)، آهن (۱۴/۸۷ درصد وزنی) و گوگرد (۱۱/۹۳ درصد وزنی) به عنوان اجزای اصلی تشکیل دهنده، آلومینیم و آرسنیک به ترتیب با غلظت‌های ۲/۲۷ و ۰/۲۷ درصد وزنی نیز همراه این کانی حضور دارند (شکل ۴ الف).

مجموعه‌های از اندرکنش‌ها بین ترکیب شیمیایی زهاب اسیدی، کانی‌شناسی کلی و ریخت‌شناسی انباسته منجر به تشکیل کانی‌های ثانویه در انباسته شماره ۷ می‌شود. کانی‌های ثانویه در گستره‌ای از مقادیر pH پایدار هستند و با تغییر ناگهانی شرایط زهاب اسیدی، واکنش‌های بعدی بی‌درنگ رخ داده و آلینده‌ها در نتیجه اتحال مجدد به محیط رها می‌شوند.

**نقش شرایط اقلیمی در تشکیل کانی‌های ثانویه**  
بر اساس دمای آب‌زدایی و شرایط اقلیمی کانی‌های ثانویه سولفاتی می‌توان درباره احتمال تشکیل و پایداری آن‌ها اظهار نظر کرد. تشکیل و پایداری طولانی مدت ملانتریت در اقلیم‌های معتدل و قاره‌ای ممکن است. کوکوئیم‌بیت و روزنیت به اقلیم گرم و خشک- نیمه‌خشک نسبت داده می‌شوند. این در حالی است که سولفات‌های پایدار مانند آلونژن و فری کوپیاپیت در هر نوع شرایط اقلیمی تشکیل می‌شوند [۲]. سولفات‌های آلومینیم طبیعی عبارتند از آلونژن (۱۷ مولکول آب)، متا‌آلونژن (تقریباً ۱۳/۸ مولکول آب) و میلوسویچیت (بدون آب). قله‌های رامان میلوسویچیت ( $\text{Al}_2(\text{SO}_4)_3$ ) به طور مصنوعی و از گرمادهی آلونژن در دمای ۳۰۰ درجه سانتی‌گراد برای مدت ۲۴ ساعت تهیه شده است [۲۹]. بنابراین از سولفات‌های آلومینیم با توجه به تمایل آب‌زدایی و تعداد کم آن‌ها در مقایسه با سولفات‌های آهن و منیزیم، می‌توان به عنوان شاخصی برای تعیین دما و رطوبت محیطی استفاده کرد [۲۵]. تغییرات عمدی در شکل قله رامان تنها با تبدیل آلونژن به متا‌آلونژن در دماهای کمی بیش از ۴۰ درجه سانتی‌گراد یا در



شکل ۸ شرایط اقلیمی تشکیل کانی‌های ثانویه در معدن میدوک (گستره خاکستری رنگ).

- [2] Buzatu A., Dill H.G., Buzgar N., Damian G., Maftei A.E., Apopei A.I., "Efflorescent sulfates from Baia Sprie mining area (Romania) - Acid mine drainage and climatological approach", *Science of the Total Environment* 542 (2016) 629–641.
- [3] Maki Zadeh M. A., Taghipour B., Salafzoon M., Reza Zadeh H., "Mineralogy and geochemistry of the hydrate sulfate minerals in relation to the black shales, Qroqchy, Mymeh, Isfahan", *Iranian Journal of Crystallography and Mineralogy* 24 (3) (2016) 595–604.
- [4] Bigham J.M., Nordstrom D.K., "Iron and aluminum hydroxysulfates from acid sulfate waters", *Review in Mineralogy and Geochemistry* 40 (2000) 351–403.
- [5] Bigham J.M., Schwertmann U., Traina S.J., Winland R.L., Wolf M., "Schwertmannite and the chemical modeling of iron in acid sulfate waters", *Geochimica Cosmochimica Acta* 60 (1996) 2111–2121.
- [6] Dold B., "Acid rock drainage prediction: A critical review", *Journal of Geochemical Exploration* 172 (2017) 120–132.
- [7] Carrero S., Pérez-López R., Fernandez-Martinez A., Cruz-Hernández P., Agnieszka C., Poulaing A., "The potential role of aluminium hydroxysulphates in the removal of contaminants in acid mine drainage", *Chemical Geology* 417 (2015) 414–423.
- [8] Jamieson H. E., Robinson C., Alpers C. N., McCleskey R. B., Nordstrom D. K., Peterson R. C., "Major and trace element composition of copiapite-group minerals and coexisting water from the Richmond mine, Iron Mountain, California", *Chemical Geology* 215 (2005) 387–405.
- [9] Klingelhöfer G., Morris R. V., Bernhardt B., Schröder C., Rodionov D. S., de Souza Jr. P. A., Yen A., Gellert R., Evlanov E. N., Zubkov B., Foh J., Bonnes U., Kankeleit E., Gütlisch P., Ming D. W., Renz F., Wdowiak T., Squyres S. W., Arvidson R. E., "Jarosite and Hematite at Meridiani Planum from Opportunity's Mössbauer Spectrometer", *Science* 306 (2004) 5702 1740–1745.
- [10] Shi X-Zh., Lau I. C., Aspandiar M., "Comparison of PLSR modelling and indicative mineral mapping of airborne hyperspectral imagery for acid sulphate soil assessment", *International Journal of Remote Sensing* 35 (2014) 1309–1330.
- [11] Zabcic N., Rivard B., Ong C., Mueller A., "Using airborne hyperspectral data to characterize the surface pH and mineralogy of pyrite mine tailings", *International Journal of Applied Earth Observation and Geoinformation* 32 (2014) 152–162.

کانی‌های ثانویه از جمله ژاروسیت و شرتمانیت به عنوان ته-نشین کننده موقت عناصر جزئی سرب، آرسنیک و کروم از طریق فرآیند هم‌رسوبی عمل می‌کنند [۲۵]. همراهی آلومینیم (۰/۶ درصد وزنی) و مس (۰/۶ درصد وزنی) با سولفات‌های آهن نیز تعیین شد (شکل ۴ ب). همراهی مس (۰/۹۴ درصد وزنی) و آرسنیک (۰/۴۸ درصد وزنی) با کانی کوکوئیمیت نیز تایید شد (شکل ۴ پ). کوکوئیمیت در مقایسه با سایر سولفات‌ها نقش بیشتری در بازداشت آرسنیک دارد [۲۱]. ترکیب شیمیایی فری کوپیاپیت به ترتیب همراهی مس (۰/۶۵ درصد وزنی)، آلومینیم (۰/۸۵ درصد وزنی) و آرسنیک (۰/۲۶ درصد وزنی) را تایید نمود (شکل ۴ ت). کانی‌های گروه کوپیاپیت قابلیت هم‌راسازی فلزات سنگین با خود را دارند [۲۱]. همچنین، همراهی سرب (۰/۷۲ درصد وزنی) با سولفات‌های مس نیز تعیین شد (شکل ۴ ج).

#### برداشت

این پژوهش گامی اولیه برای تهیه نقشه‌های pH خاک و کانی‌های ثانویه با استفاده از روش‌های پردازش تصاویر است. نقشه‌های تصویری به ارزیابی آثار انباسته باطله معدن طی زمان کمک می‌کند. برنامه‌های پایشی در شناسایی مناطق پرخطر و مدیریت زیستمحیطی معدن موثر است. ویژگی‌های آب زمین شیمی آب منفذی از مهمترین عوامل کنترل کننده کانی‌شناسی اکسی-هیدروکسی‌سولفات‌ها در انباسته شماره ۷ معدن میدوک است. مقادیر pH پایین، غلظت‌های بالای سولفات، آهن و آلومینیم منجر به تشکیل سولفات‌های آهن از جمله کوکوئیمیت، پلمازوژاروسیت و روزنیت شده است. سولفات‌های آهن سه ظرفیتی در بخش‌های با شدت اکسایش بیشتر توسط  $\text{FeSO}_4^+$  طیف‌سنجی رaman به خوبی شناسایی شدند. کمپلکس  $\text{FeSO}_4$  و گونه  $\text{FeSO}_4$  به ترتیب از مهمترین گونه‌های آهن دو و سه ظرفیتی همراه با فاز محلول هستند. با توجه به بارش‌های اندک، انتقال گونه‌های محلول توسط آب منفذی به اعماق انباسته به کندی صورت می‌گیرد. اقلیم گرم و خشک منطقه معدن بر فرآیندهای آب‌زدایی و تشکیل سولفات‌های ثانویه اثر دارد. تشکیل کانی‌های ثانویه اسکورودایت و پلمازوژاروسیت با ثابت‌های حلایت بسیار پایین منجر به خارج‌سازی آرسنیک و سرب از فاز محلول و تثبیت آن‌ها می‌شود. سولفات‌های فری‌کوپیاپیت و کوکوئیمیت بیشترین نقش را در بازداشت آرسنیک از محلول دارند.

#### مراجع

- [1] INAP, "The International Network for Acid Prevention. Global Acid Rock Drainage Guide (GARD Guide)", 2009, <<http://www.gardguide.com/>>.

- [22] Noli F., Misaelides P., Hatzidimitriou A., Pavlidou E., Kokkoris M., "Investigation of artificially produced and natural copper patina layers", *Journal of Material Chemistry* 13 (2003) 114–120.
- [23] Frost R. L., Zigovecki Gobac Z., López A., Xi Y., Scholz R., Lana C., Malena Fernandes Lima R., "Characterization of the sulphate mineral coquimbite, a secondary iron sulphate from Javier Ortega mine, Lucanas Province, Peru – Using infrared, Raman spectroscopy and thermogravimetry", *Journal of Molecular Structure* 1063 (2014) 251–258.
- [24] Frost R. L., Wills R. A., Weier M. L., Martens W., Mills S. "A Raman spectroscopic study of selected natural jarosites", *Spectrochimica Acta Part A* 63 (2006) 1–8.
- [25] Kosek F., Culka A., Zacek V., Laufek F., Skoda R., Jehlicka J., "Native alunogen: A Raman spectroscopic study of a well-described specimen", *Journal of Molecular Structure* 1157 (2018) 191–200.
- [26] Apopei A. I., Buzgar N., Gheorghe D., Buzatu A., "The Raman study of weathering minerals from the Coranda-Hondol open pit (Certej gold-silver deposit) and their photochemical degradation products under laser irradiation", *The Canadian Mineralogist* 52 (2014) 1027–1038.
- [27] Quispe D., Pérez-López R., Acero P., Ayora C., Nieto J. M., "The role of mineralogy on element mobility in two sulfide mine tailings from the Iberian Pyrite Belt (SW Spain)" *Chemical Geology* 345 (2013) 119–129.
- [28] Liua Q., Chena B., Haderlein S., Gopalakrishnan G., Zhou Y. "Characteristics and environmental response of secondary minerals in AMD from Dabaoshan Mine, South China", *Ecotoxicology and Environmental Safety* 155 (2018) 50–58.
- [29] Kosek F., Culka A., Jehlicka J., "Raman spectroscopic study of six synthetic anhydrous sulfates relevant to the mineralogy of fumaroles", *Journal of Raman Spectroscopy* (2018) 1–12.
- [30] Kahlenberg V., Braun D.E., Kruger H., Schmidmair D., Orlova M., "Temperature and moisture-dependent studies on alunogen and the crystal structure of meta-alunogen determined from laboratory powder diffraction data", *Physics Chemistry and Mineralogy* 44 (2017) 95–107.
- [31] Wang A., Zhou Y., "Experimental comparison of the pathways and rates of the dehydration of Al-, Fe-, Mg- and Ca-sulfates under Mars relevant conditions", *Icarus* 234 (2014) 162–173.
- [12] Civeira M., Oliveira M. L. S., Hower J. C., Agudelo-Castañeda D. M., Taffarel Silvio R., Ramos C. G., Kautzmann R. M., Silva L. F. O., "Modification, adsorption, and geochemistry processes on altered minerals and amorphous phases on the nanometer scale: examples from copper mining refuse, Touro, Spain", *Environmental Science Pollutant Research* 23 (2016) 6535–6545.
- [13] Sobron P., Alpers C. N., "Raman Spectroscopy of Efflorescent Sulfate Salts from Iron Mountain Mine Superfund Site, California", *ASTROBIOLOGY* 13 (2013) 270–278.
- [14] Parviaainen A., Cruz-Hernández P., Pérez-López R., Nieto J. M., Delgado-López J. M., "Raman identification of Fe precipitates and evaluation of As fate during phase transformation in Tinto and Odíel River Basins", *Chemical Geology* 398 (2015) 22–31.
- [15] Richards J. P., Sholeh A., "The Tethyan Tectonic History and Cu-Au Metallogeny of Iran", *Economic Geologist Special Publication*, (2016) 193–212.
- [16] Shahhosseini M., Doulati Ardejani F., Amini M., Ebrahimi L., Mohebi Poorkani A., "Environmental geochemistry of As and Pb in a copper low-grade dump, Miduk copper mine, Kerman province, SE Iran", *Journal of Geochemical Exploration* 198 (2019) 54–70.
- [17] Smart R., Skinner B., Levay G., Gerson A., Thomas J., Sobobieraj H., Schumann R., Weisener C., Weber P., Miller S., Stewart, W., "ARD test handbook: project P387A prediction and kinetic control of acid mine drainage", In: Predict. Kinet. Control Acid Mine Drainage, (2002) Proj. P387A 42.
- [18] Rull F., Guerrero J., Venegas G., Gázquez F., Medina J., "Spectroscopic Raman study of sulphate precipitation sequence in Rio Tinto mining district (SW Spain)", *Environmental Science Pollution Research* 21 (2014) 6783–6792.
- [19] Parkhurst D.L., Appelo C.A.J., "PHREEQC (Version 3)-a computer program for speciation, batch-reaction, one-dimensional transport, and inverse geochemical calculations", In: Model. Tech. B. (2013).
- [20] Elisa M., Gomes P., Favas P. J.C., "Mineralogical controls on mine drainage of the abandoned Ervedosa tin mine in north-eastern Portugal", *Applied Geochemistry* 21 (2006) 1322–1334.
- [21] Romero A., Gonzalez I., Galan E., "The role of efflorescent sulfates in the storage of trace elements in stream waters polluted by acid mine-drainage: The case of Pena Del Hierro, southwestern Spain", *The Canadian Mineralogist* 44 (2006) 1431–1446.